

**ГЕОМЕТРИЧЕСКИ НЕЛИНЕЙНЫЙ АНАЛИЗ  
НАПРЯЖЕННО-ДЕФОРМИРОВАННОГО СОСТОЯНИЯ  
ТОРОИДАЛЬНЫХ ОБОЛОЧЕК ПРИ ЧИСТОМ ИЗГИБЕ**

Напряженно-деформированное состояние тороидальных оболочек (криволинейных труб) при изгибе краевыми моментами впервые рассмотрено в работах [1, 2], где дана постановка задачи и найдены приближенные решения в рамках теории малых упругих перемещений. В [3—6] на основе различных подходов получены уточненные решения, позволяющие охватить широкий диапазон изменения геометрических характеристик труб.

В [7] с использованием допущений [2] исследовано нелинейное деформирование круговых цилиндрических оболочек при чистом изгибе и найдено значение предельного изгибающего момента, при котором происходит потеря устойчивости оболочки. В [8, 9] предприняты попытки уточнения результатов [7] путем удержания малых членов хотя, как и в [7], использовались линейные соотношения для окружной деформации и угла поворота касательной к контуру поперечного сечения. В [10] проблема конечного изгиба цилиндрической оболочки сведена к системе двух нелинейных дифференциальных уравнений 4-го порядка, решению которой посвящены работы [11—14]. Нелинейное деформирование и устойчивость оболочек эллиптического поперечного сечения рассмотрены в [15]. В [16] получены нелинейные уравнения изгиба криволинейных труб и найдено приближенное аналитическое решение для малой начальной кривизны трубы. Приближенные решения задачи содержатся также в [17, 18]. Постановка задачи изгиба труб с позиций геометрически нелинейной теории оболочек обсуждалась в [19, 20]. В [19] на основе численного алгоритма исследовано также нелинейное деформирование тороидальных оболочек и проведено сравнение с результатами других авторов.

Анализ работ, посвященных задаче Дубяги—Кармана — Бразье, показывает, что в большинстве из них рассмотрены оболочки кругового поперечного сечения. Известные аналитические решения приемлемы лишь для оболочек малой начальной кривизны оси и не позволяют изучить напряженно-деформированное состояние при конечном изгибе, сопровождающемся значительным формоизменением поперечного сечения. Представляют интерес исследование на основе уточненной методики влияния геометрической нелинейности на величину и характер распределения напряжений в оболочках, а также оценка границ применимости известных приближенных решений.

Рассмотрим тонкостенную тороидальную оболочку, изгибаемую в плоскости кривизны ее осевой линии краевыми моментами  $M$ . Пусть форма поперечного сечения (меридиана) задана в параметрическом виде  $x_i = x_i(s)$ , где  $s$  — дуговая координата,  $i = 1, 2$ . Примем, что поперечные сечения, ортогональные к осевой линии, остаются плоскими и ортогональными к осевой линии в процессе нагружения оболочки, но могут деформироваться в своей плоскости. Напряженно-деформированное состояние зависит только от координаты  $s$ , что соответствует постановке [1, 2, 7]. На основании принятых допущений и гипотез Кирхгофа—Лява запишем уравнение поверхности оболочки в исходном и деформированном состоянии в векторном виде

$$(1) \quad \mathbf{R} = \mathbf{R}_0 + \epsilon_i x_i + z\mathbf{n}, \quad \mathbf{R}^\vee = \mathbf{R}_0^\vee + \epsilon_i^\vee x_i^\vee + z\mathbf{n}^\vee \quad (i = 1, 2),$$

где  $R_0$  — радиус-вектор осевой линии;  $e_i = e_i(t)$  — единичные орты, лежащие в плоскости поперечного сечения;  $t$  — длина дуги осевой линии оболочки;  $n = e_i \lambda_i^n$  — единичная нормаль к срединной поверхности оболочки;  $\lambda_i^n$  — направляющие косинусы нормали;  $z$  — координата, нормальная к срединной поверхности оболочки; значком  $\vee$  отмечены величины, относящиеся к деформированному состоянию. Здесь и далее принято правило суммирования по повторяющимся индексам.

С использованием уравнений (1) получим соотношения для деформаций и искривлений срединной поверхности оболочки в меридиональном и осевом направлениях:

$$(2) \quad \begin{aligned} \epsilon_s &= \frac{1}{2} (\dot{x}_i^{\vee} \dot{x}_i^{\vee} - 1), \quad \kappa_s = x_i^{\vee} \lambda_i^{n \vee} - x_i \lambda_i^n, \\ \epsilon_t &= A_t^{-1} (\epsilon + k^{\vee} x_1^{\vee} - k x_1), \quad \kappa_t = A_t^{-1} (k^{\vee} \lambda_1^{n \vee} - k \lambda_1^n). \end{aligned}$$

Здесь  $A_t = 1 + k x_1$  — параметр Ламе;  $\epsilon, k$  — деформация и кривизна осевой линии; штрихом обозначена производная по координате  $s$ .

Потенциальная энергия деформации тороидальной оболочки с единичной длиной осевой линии записывается в виде

$$(3) \quad \Pi = \frac{1}{2} \int (T_s \epsilon_s + T_t \epsilon_t + M_s \kappa_s + M_t \kappa_t) A_t ds,$$

где  $T_s, T_t, M_s, M_t$  — усилия и изгибающие моменты, которые для случая изотропного линейно-упругого тела связаны с деформациями и искривлениями (2) следующими соотношениями:

$$(4) \quad \begin{aligned} T_s &= B(\epsilon_s + \nu \epsilon_t), \quad T_t = B(\epsilon_t + \nu \epsilon_s), \\ M_s &= D(\kappa_s + \nu \kappa_t), \quad M_t = D(\kappa_t + \nu \kappa_s), \\ B &= Eh(1 - \nu^2)^{-1}, \quad D = Bh^2/12. \end{aligned}$$

Здесь  $E$  — модуль Юнга;  $\nu$  — коэффициент Пуассона;  $h$  — толщина оболочки.

Полная потенциальная энергия оболочки имеет вид  $U = \Pi - A$ , где  $A = M(k^{\vee} - k)$  — работа внешних изгибающих моментов.

Разобьем оболочку в меридиональном направлении на конечные элементы с длиной  $l$ . Записывая разложение неизвестных функций в ряд Тейлора и пренебрегая членами порядка  $O(l^2)$ , получим аппроксимационный вариант деформационных соотношений (2) для конечного элемента:

$$(5) \quad \begin{aligned} \epsilon_t &= A_t^{-1} (\epsilon + k^{\vee} x_1^{\vee} - k x_1), \quad \kappa_t = A_t^{-1} (k^{\vee} \lambda_1^{n \vee} - k \lambda_1^n), \\ \epsilon_s &= \frac{1}{2} (b_i b_k x_{ji}^{\vee} x_{jk}^{\vee} - 1), \\ \kappa_s &= N_i \theta_i, \quad \theta_i = b_k (\lambda_{ji}^{n \vee} x_{jk}^{\vee} - \lambda_{ji}^n x_{jk}), \\ A_t &= 1 + k x_1, \quad x_1 = \frac{1}{2} (x_{11} + x_{12}), \quad \lambda_1^n = \frac{1}{2} (\lambda_{11}^n + \lambda_{12}^n), \\ b_1 &= -b_2 = -1/l, \quad N_1 = (6s - 4l)l^{-2}, \quad N_2 = (6s - 2l)l^{-2} \end{aligned}$$

$(x_{ij}, \lambda_{ij}^n (i, j = 1, 2))$  — значения координат и направляющих косинусов нормали в  $j$ -м узле элемента).

Введем в рассмотрение пятикомпонентный вектор обобщенных упругих перемещений

$$u^T = |\epsilon_s, \theta_1, \theta_2, \epsilon_t, \kappa_t|.$$

Подставляя соотношения (4), (5) в (3) и проводя интегрирование в пределах от 0 до  $l$ , получим потенциальную энергию деформации элемента в виде

Таблица 1

$\alpha$	$\mu$				
	0	1	2	5	10
	$\sigma_{\tau}^*/Eh$				
0,5	0,141 (0,141)	0,119 (0,117)	0,087 (0,077)	0,057	0,047
1	0,262 (0,265)	0,198 (0,192)	0,145 (0,128)	0,105	0,088
1,5	0,341 (0,352)	0,235 (0,231)	0,187 (0,165)	0,146	0,126
2	0,367 (0,385)	0,260 (0,257)	0,221 (0,192)	0,184	0,161
2,5	0,359 (0,385)	0,283 (0,275)	0,253 (0,214)	0,219	0,192
3	0,360 (0,385)	0,307 (0,289)	0,282 (0,231)	0,250	0,223

$\Pi = (1/2)\pi^T K u$ , где отличные от нуля коэффициенты симметричной матрицы жесткости  $K$  определяются выражениями

$$K_{11} = BA_1 l, K_{14} = \nu K_{11}, K_{22} = D\Gamma^{-1}[4 + k(3x_{11} + x_{12})],$$

$$K_{23} = 2DA_1 \Gamma^{-1}, K_{25} = -\nu D(1 + kx_{11}),$$

$$K_{33} = D\Gamma^{-1}[4 + k(x_{11} + 3x_{12})], K_{35} = \nu D(1 + kx_{12}),$$

$$K_{44} = K_{11}, K_{55} = DA_1 l.$$

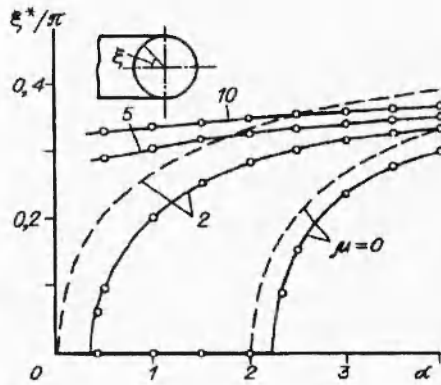
Одна из особенностей данной формулировки задачи состоит в том, что конечный элемент оболочки содержит нижеследующие узловые, а также внеузловые неизвестные, которые образуют вектор обобщенных координат  $q$ :

$$q^T = |x_{11}^v, x_{21}^v, \varphi_1^v, x_{12}^v, x_{22}^v, \varphi_2^v, \varepsilon, k^v|$$

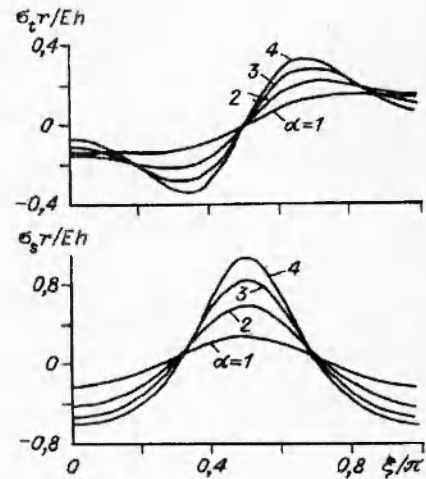
( $\varphi_i^v$  — угол поворота нормали в  $i$ -м узле).

Таблица 2

$\alpha$	$\mu$				
	0	1	2	5	10
	$\sigma_{\tau}^*/Eh$				
0,5	0,032 (0,031)	0,088 (0,094)	0,121 (0,156)	0,127	0,103
1	0,133 (0,125)	0,234 (0,250)	0,273 (0,375)	0,254	0,205
1,5	0,309 (0,281)	0,413 (0,469)	0,433 (0,656)	0,377	0,306
2	0,531 (0,500)	0,594 (0,750)	0,584 (1,000)	0,494	0,404
2,5	0,748 (0,781)	0,758 (1,094)	0,723 (1,406)	0,605	0,501
3	0,935 (1,125)	0,903 (1,500)	0,848 (1,875)	0,712	0,594



Р и с. 1



Р и с. 2

Запишем разложение потенциальной энергии элемента в ряд Тейлора по приращениям обобщенных координат  $\delta q$  в окрестности некоторого деформированного состояния:

$$(6) \quad \Pi = \Pi_0 + \delta\Pi + \frac{1}{2}\delta^2\Pi + \dots,$$

$$\delta\Pi = g^T \delta q, \quad \delta^2\Pi = \delta q^T H \delta q$$

( $g$ ,  $H$  — градиент и матрица Гесса потенциальной энергии). Для потенциальной энергии  $\Pi$ , являющейся квадратичной формой относительно компонент вектора  $u$ , можно получить следующие выражения [21]:

$$g = u^T P, \quad P = Ku,$$

$$H = u^T K u^T + P_i u_i'' \quad (i = 1, \dots, 5)$$

( $u'$ ,  $u_i''$  — матрицы, содержащие первые и вторые производные от компонент вектора  $u$  по обобщенным координатам).

Если ограничиться выписанными членами разложения (6), то применение принципа стационарности полной потенциальной энергии  $\delta U = 0$  для ансамбля конечных элементов приводит к системе уравнений

$$(7) \quad H \delta q + g - Q = 0,$$

где  $g$ ,  $H$  — градиент и матрица Гесса ансамбля конечных элементов;  $Q$  — вектор обобщенных внешних сил. Решение системы уравнений (7) представляет собой один шаг итерационного процесса нахождения равновесного состояния дискретной системы. После определения  $\delta q$  новые значения неизвестных вычисляются по следующим формулам (по  $j$  не суммировать):

$$(x_{ij}^v)^* = x_{ij}^v + \delta x_{ij}^v, \quad (\lambda_{ij}^{nv})^* = \lambda_{ij}^{nv} \cos \delta \varphi_j^v + \lambda_{ij}^v \sin \delta \varphi_j^v,$$

$$\varepsilon^* = \varepsilon + \delta \varepsilon, \quad (k^v)^* = k^v + \delta k^v$$

( $\lambda_{ij}^v$  — направляющие косинусы единичного вектора ортогонального  $p_j^v$ ). Процесс решения по схеме (7) повторяется до удовлетворения заданной точности нахождения неизвестных.

В качестве основных исходных данных при расчете тороидальных оболочек требуется задание значений координат и направляющих косинусов нормали в узлах рассматриваемого поперечного сечения.

Исследуем напряженное состояние тороидальных оболочек кругового поперечного сечения с радиусом  $r$ , характеризующихся различными значе-

Таблица 3

$\alpha$	$m$	$\alpha$	$m$
-4,8	-1,00	14,4	0,586
-2,4	-0,395	16,8	0,594
2,4	0,245	19,2	0,595
4,8	0,393	24	0,586
9,6	0,537		

ниями параметра кривизны  $\mu = (12(1 - \nu^2))^{1/2}kr^2/h$  при  $r/h = 100$ ,  $\nu = 0$ . В табл. 1, 2 представлены зависимости максимальных осевых  $\sigma_x^*$  и меридиональных (окружных)  $\sigma_s^*$  напряжений от параметра искривления осевой линии  $\alpha = \mu^\nu - \mu$ .

Отметим, что точка появления максимальных осевых напряжений  $\sigma_x^*$ , имеющая угловую координату  $\xi^*$ , в процессе деформирования оболочки смещается в направлении нейтральной линии (рис. 1). Причем наиболее заметно это смещение для оболочек, имеющих малый параметр кривизны ( $\mu < 5$ ). Для  $\mu > 10$  максимальные напряжения возникают вблизи нейтральной линии, и соответствующая координата  $\xi^*$  слабо изменяется при изгибе оболочки. Приближенные решения [7, 16], представленные штриховыми линиями на рис. 1 и значениями в скобках в табл. 1, 2, удовлетворительно описывают напряженное состояние оболочек лишь с малой начальной кривизной ( $\mu \leq 1$ ). Наибольшую погрешность дают результаты [16] в определении максимальных окружных напряжений  $\sigma_s^*$ , которые возникают в точке  $\xi = \pi/2$ . Так, для  $\mu = 1$  в области малых искривлений оси оболочки ( $\alpha < 0,5$ ) относительная ошибка составляет 6 % и возрастает до 26 % при  $\alpha = 2$ .

На рис. 2 показано распределение напряжений по сечению оболочки с параметром  $\mu = 2$  для различных значений  $\alpha$ . В результате сплющивания поперечного сечения наибольшими по величине являются окружные напряжения  $\sigma_s$ , которые возникают в основном за счет изгиба стенки.

Рассмотрим изгиб тороидальной оболочки с некруговым сечением, форма которого описывается выражением [22]

$$\theta = \xi + 0,5\sin\xi - 0,9452\sin 2\xi + 0,3\sin 3\xi - 0,4\sin 4\xi, \quad \xi = s/r,$$

где  $\theta$  — угол между нормалью  $n$  и осью  $x_1$ ;  $r = L/2\pi$  — приведенный радиус сечения;  $L$  — периметр сечения. Декартовы координаты определяются численным интегрированием соотношений  $x_1' = -\sin\theta$ ,  $x_2' = \cos\theta$ .

Исследование линейной задачи изгиба оболочек с различными параметрами кривизны осевой линии показывает, что в области больших зна-

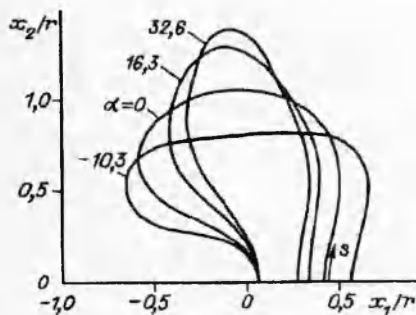


Рис. 3

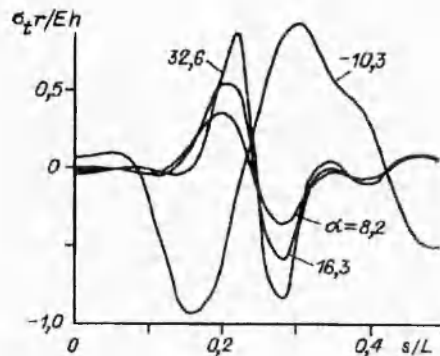


Рис. 4

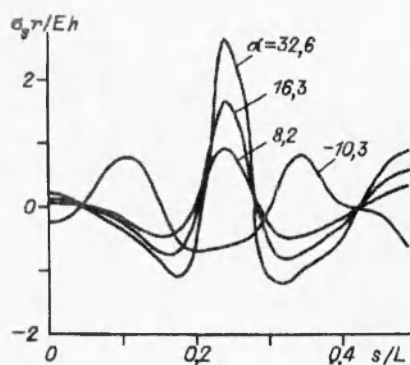


Рис. 5

казано распределение напряжений по сечению оболочки. Осевые напряжения вычислялись для срединной поверхности, а меридиональные — для наружной поверхности оболочки. Отметим, что при  $\alpha > 0$  напряжения локализуются вблизи нейтральной линии, причем меридиональные напряжения превосходят осевые в 2—2,5 раза.

В заключение отметим, что для расчета напряженно-деформированного состояния оболочки в диапазоне искривлений  $-4,8 < \alpha < 24$  потребовалось около 4 мин при проведении вычислений на компьютере РС АТ 286 с двойной точностью.

чений  $\mu > 30$  для коэффициента гибкости  $f$  справедлива формула  $f = 0,155\mu$ .

В табл. 3 представлена зависимость между безразмерными параметрами изгибающего момента  $m = (12(1 - \nu^2))^{1/2} Mr^2 / hEI$  ( $I$  — момент инерции поперечного сечения) и искривления осевой линии оболочки  $\alpha$  для  $r/h = 100$ ,  $\nu = 0,3$ ,  $\mu = 50$ . Линейное решение задачи  $m = \alpha/f$  приемлемо в узком диапазоне  $-0,4 \leq \alpha \leq 0,4$ . Значение предельного момента при сгибании оболочки ( $\alpha > 0$ ) составляет  $m \approx 0,6$ .

Формы деформированного поперечного сечения для различных значений  $\alpha$  представлены на рис. 3. На рис. 4, 5

#### ЛИТЕРАТУРА

1. Дубяга К.М. Изгиб тонкостенных кривых трубок // Изв. С.-Петербургского политехн. ин-та. — 1909. — Т. 11, № 2. — С. 663—675.
2. Karman Th. Die Formänderung dünnwandiger Rohre, insbesondere federnder Ausgleichrohre // Z. VDI. — 1911. — Bd 55, N 45. — S. 1889—1895.
3. Karl H. Biegung gekrümmter, dünnwandiger rohre // Z. angew. Math. Mech. — 1943. — Bd 23, N 6. — S. 331—345.
4. Beskin L. Bending of curved thin tubes // J. Appl. Mech. — 1945. — V. 12, N 1. — P. A1—A7.
5. Clark R.A., Reissner E. Bending of curved tubes // Advances in Applied mechanics. — N. Y.: Acad. Press, 1951. — V. 2. — P. 93—122.
6. Cheng D.H., Thailer H.J. On bending of curved circular tubes // Trans. ASME. Ser. B.J. Engng Industry. — 1970. — V. B92, N 1. — P. 62—66.
7. Brazier L.G. On the flexure of thin cylindrical shells and other «thin» sections // Proc. Roy. Soc. London Ser. A. — 1927. — V. 116, N 773. — P. 104—114.
8. Heck O.S. Über der Stabilität orthotroper elliptischer Zylinderschalen bei reiner Biegung // Luftfahrtforschung. — 1937. — Bd 14, N 3. — S. 137—147.
9. Коновалов Ю.В. Изгиб бесконечной цилиндрической оболочки // ПММ. — 1940. — Т. 4, № 5, 6. — С. 35—54.
10. Reissner E., Weitschke H.J. Finite pure bending of circular cylindrical tubes // Quart. Appl. Math. — 1963. — V. 20, N 4. — P. 305—312.
11. Reissner E., Weitschke H.J. Corrections to «Finite pure bending of circular cylindrical tubes» // Quart. Appl. Math. — 1966. — V. 23, N 4. — P. 368.
12. Perrone N., Kao R. A general nonlinear relaxation iteration technique for solving nonlinear problems in mechanics // Trans. ASME. Ser. E. J. Appl. Mech. — 1971. — V. 38, N 2. — P. 371—376.
13. Na T.Y., Turski C.E. Solution of the nonlinear differential equations for finite bending of thin-walled tubes by parameter differentiation // Aeronaut. Quart. — 1974. — V. 25, N 1. — P. 14—18.
14. Thurston G.A. The critical bending moment of circular cylindrical tubes // Trans. ASME. Ser. E.J. Appl. Mech. — 1977. — V. 44. — P. 173—175.
15. Spence J., Toh S.L. Collapse of thin orthotropic elliptical cylindrical shells under combined bending and pressure loads // Trans. ASME. Ser. E. J. Appl. Mech. — 1979. — V. 46. — P. 363—371.
16. Reissner E. On finite bending of pressurized tubes // Trans. ASME. Ser. E. J. Appl. Mech. — 1959. — V. 26, N 3. — P. 386—392.
17. Костовецкий Д.Л. Изгиб кривых тонкостенных труб в области больших упругих перемещений // Изв. АН СССР. ОТН. Механика и машиностроение. — 1960. — № 3. — С. 49—54.
18. Аксельрад Э.Л. Изгиб тонкостенных стержней при больших упругих перемещениях // Изв. АН СССР. ОТН. Механика и машиностроение. — 1961. — № 3. — С. 124—132.

19. Boyle J.T. The finite bending of curved pipes // Int. J. Solids Structures. — 1981. — V. 17, N 5. — P. 515—529.
20. Reissner E. On the finite pure bending of curved tubes // Int. J. Solids Structures. — 1981. — V. 17, N 9. — P. 839—844.
21. Кузнецов В.В., Левяков С.В. Нелинейная задача Кармана для тороидальных оболочек произвольного поперечного сечения // Изв. РАН. МТТ. — 1992. — № 2. — С. 136—142.
22. Whatham J.F. Analysis of pipe bends with symmetrical noncircular cross sections // Trans. ASME. Ser. E. J. Appl. Mech. — 1987. — V. 54, N 3. — P. 604—610.

г. Новосибирск

Поступила 10/III 1994 г.

УДК 539.3

М.А. Задоян, Н.Б. Сафарян

### ПЛОСКОНАПРЯЖЕННОЕ СОСТОЯНИЕ СОСТАВНОГО КЛИНА

Рассматривается напряженное состояние на крае контактной линии составного клиновидного тела со степенным законом упрочнения материалов в условиях плоского напряженного состояния. Обстоятельное исследование в этой области для линейно-упругих составных тел приведено в [1]. В [2] изучаются вопросы малонапряженности составных тел со степенным упрочнением материалов в условиях плоской деформации. Аналогичные вопросы на крае контактной поверхности неоднородно составного клина при продольном сдвиге и плоской деформации изучены в [3].

Исследование задачи малонапряженности в случае плоского напряженного состояния, очевидно, сложнее по сравнению с соответствующей задачей плоской деформации.

В настоящей работе для плоского напряженного состояния при помощи местного решения изучается поведение поля напряжений в окрестности края поверхности соединения составного тела, когда поверхности, образующие ребро, считаются свободными от напряжений (рис. 1).

В полярной системе координат угловая точка выбрана за начало системы координат, ось  $\theta = 0$  направлена по контактной поверхности, а ось  $z$  — перпендикулярно к плоскости тела. В каждой области поперечного сечения имеем уравнения равновесия:

$$(1) \quad \frac{\partial \sigma_r}{\partial r} + \frac{1}{r} \frac{\partial \tau_{r\theta}}{\partial \theta} + \frac{\sigma_r - \sigma_\theta}{r} = 0,$$

$$\frac{\partial \tau_{r\theta}}{\partial r} + \frac{1}{r} \frac{\partial \sigma_\theta}{\partial \theta} + \frac{2}{r} \tau_{r\theta} = 0.$$

Закон упрочнения запишем в виде

$$(2) \quad \sigma_0 = k \varepsilon_0^m,$$

где

$$\sigma_0 = \frac{1}{\sqrt{3}} \sqrt{\sigma_r^2 - \sigma_r \sigma_\theta + \sigma_\theta^2 + 3\tau_{r\theta}^2}; \quad \varepsilon_0 = 2\sqrt{\varepsilon_r^2 + \varepsilon_r \varepsilon_\theta + \varepsilon_\theta^2 + \gamma_{r\theta}^2}$$

— соответственно интенсивности касательных напряжений и деформации сдвига;  $m$  — показатель упрочнения. Принимается, что степени упрочнения  $m$  обоих материалов одинаковы, а модули деформации  $k$  различны.

Соотношения между компонентами деформаций и перемещений:

$$\varepsilon_r = \frac{\partial u}{\partial r}, \quad \varepsilon_\theta = \frac{u}{r} + \frac{1}{r} \frac{\partial v}{\partial \theta}, \quad \gamma_{r\theta} = \frac{\partial v}{\partial r} - \frac{v}{r} + \frac{1}{r} \frac{\partial u}{\partial \theta},$$